

長崎大学工学部 正員 落合英俊

はじめに

飽和粘土の非排水強度  $Cu$  と圧密圧力  $\sigma$  との比  $Cu/P$  は、圧密による非排水せん断強度の増加割合を表す才である。そこで、 $Cu$  は次式で表すことができる飽和粘土の非排水せん断強度である。

$$Cu = \frac{1}{2}(\sigma_1 - \sigma_3)_{max} = \sigma_{max} \quad \dots (1) \quad \text{ところが、たゞこの粘土は、その非排水強度が異性であるため、室内せん断試験により、この } Cu/P \text{ 値を求めるには、現場の破壊形式を再現できる試験をよりねばならない}.$$

室内せん断試験の一つである単純せん断試験は、他の試験とはいくつも特徴を有しており、この試験の応力状態は、現場における各種の荷重条件を満足するものである。たとえば、 $\Delta d$ <sup>(1)</sup> は、単純せん断試験結果は軟弱地盤上の盛土載荷による円弧すべり面に沿う平均的な強度の、かくかく大小さめではあるが、ほぼ良好予測値を与えると述べられる。しかし、この試験たゞて実測される水平面上のせん断応力  $\tau_h$  は、最大せん断応力  $\tau_{max}$  とは等しくなく、また破壊面上のせん断応力とも等しくないことは注目しなければならぬ。ちなみにも、 $(\tau_h)_{max}$  は、大(1)で定義される飽和粘土の非排水強度  $Cu$  と等しくなく、したがって、 $(\tau_h)_{max}/P$  は飽和粘土の真の強度増加率  $(Cu/P)_{ss}$  を与えるものではない。 $(\tau_h)_{max}/P \neq (Cu/P)_{ss} \dots (2)$  本文は、単純せん断試験で実測される水平面上の直直応力(圧密圧力)  $\sigma$ 、およびせん断応力  $\tau_h$  の値を用いて、正規圧密粘土の強度増加率  $(Cu/P)_{ss}$  の算定式を新たに提案したものである。また、Duncan らの方法<sup>(2)</sup>について、その問題点の指摘も行なう。

単純せん断試験による正規圧密粘土の非排水強度の算定式

単純せん断試験において、垂直応力(圧密圧力)  $\sigma$  のみを作用させた初期応力状態は、 $K_0$  圧密状態である。この状態における直直応力および水平方向の有効応力  $\sigma'_v$ 、 $\sigma'_h$  は、最大および最小主応力  $\sigma'_1$ 、 $\sigma'_3$  と等しく、次式で表すことができる(図 2 参照)。 $\sigma'_v = \sigma'_1 = \sigma$ 、 $\sigma'_h = \sigma'_3 = K_0 P \dots (3)$  ここで、 $K_0$  は静止土圧係数である。ところが、単純せん断試験におけるときは、せん断中に主応力軸が回転するが、その主応力軸の回転角とて、小田・小西<sup>(3)</sup> は次式を提案している。 $\tau_h/\sigma'_h = K_0 \tan \psi \dots (4)$  ここで、 $\sigma'_h$  は水平面上で実測される有効直直応力およびせん断応力、 $\psi$  は最大主応力軸が鉛直軸に対する角度、 $K_0$  は次式で表すマウス材走数である<sup>(4)(5)</sup>。

$K_0 = 1 - K_0 = \sin \phi_{cv} = 2 \sin \phi_u / (1 + \sin \phi_u) \dots (5)$  ここで、 $\phi_{cv}$  は限界傾斜角(せん断範囲における内部摩擦角)、 $\phi_u$  は粒子摩擦角である。なお、 $\sigma'_h$  は初期直直応力(圧密圧力)  $\sigma$  と次の関係にある。 $\sigma'_h = \beta \sigma \dots (6)$  ここで、 $\beta$  は非排水せん断中の直直水压による係数であり、次のようによるとする。 $\beta = (P - u)/P \dots (7)$  式(4) (5) (6) より、単純せん断試験における有効最大および最小主応力は次のようだ表すことができる<sup>(4)(5)</sup>。

$$\sigma'_1 = \sigma'_h \frac{(1 - K_0) + (\tau_h/\sigma'_h)^2}{1 - K_0} = \sigma \frac{\beta^2 (1 - K_0) + (\tau_h/P)^2}{\beta (1 - K_0)} \dots (8) \quad \sigma'_3 = K_0 \sigma'_h = K_0 \beta \sigma \dots (9)$$

それから、有効最小主応力  $\sigma'_3$  は、せん断応力  $\tau_h$  が無限大に、有効直直応力  $\sigma'_h$  たゞよ、 $\psi = 90^\circ$  で決まる。そして、直直応力  $\sigma$  は、全の排水単純せん断試験の場合、 $\sigma'_h = \sigma$  ( $\beta = 1$ ) であるので、 $\sigma'_3 = K_0 P = -\infty$  となるが、水平方向の有効応力  $\sigma'_h$  は一定値とはならぬ(この点以後述べる Duncan らの方法と異なる点である)。なお、小西<sup>(6)</sup> はエボキシ樹脂丸棒を用いて、直直応力  $\sigma$  は全の排水単純せん断試験を行なう、 $\sigma'_h$  は一定値となることと実験的で確かめている。また、全応力  $\sigma$  による最小主応力  $\sigma'_3$  は次のようになる。 $\sigma'_3 = \sigma'_h + u = K_0 P + (1 - K_0) u \dots (10)$  式(8) (9) より、単純せん断試験による正規圧密粘土の非排水せん断強度  $(Cu)_{ss}$ 、および強度増加率  $(Cu/P)_{ss}$  の算定式は次のようだ表すことができる。

$$(Cu)_{ss} = \frac{1}{2}(\sigma'_1 - \sigma'_3)_{max} = \sigma \frac{\beta^2 (1 - K_0)^2 + ((\tau_h)_{max}/\sigma)^2}{2 \beta (1 - K_0)} \dots (11) \quad \frac{(Cu)}{\rho}_{ss} = \frac{\beta^2 (1 - K_0)^2 + ((\tau_h)_{max}/\sigma)^2}{2 \beta (1 - K_0)} \dots (12)$$

また、有効応力による内部摩擦角  
 $\sin \phi'_{ss} = \left( \frac{\sigma'_1 - \sigma'_3}{\sigma'_1 + \sigma'_3} \right)_{max} = \frac{\beta^2 (1 - K_0)^2 + ((\tau_h)_{max}/\sigma)^2}{\beta^2 (1 - K_0)^2 + ((\tau_h)_{max}/\sigma)^2} \dots (13)$

表 1 は正規圧密粘土  
土の実験結果と、  
本提案法による  
 $(Cu/p)_{SS}$ ,  $\phi'_{SS}$  の  
計算結果である。

NC Boston blue clay

たゞ Ladd<sup>(1)</sup>

は、 $(\tau_h)_{max}/p$  は盛

土載荷による円弧

すべり面に沿う平

均強度を与えた

小さな値を与えた

こと述べてあるが、

$(\tau_h)_{max}/p$  も盛

表-1 正規圧密粘土の実験結果と 2つの方法による計算値

| Measured values                                 |                           |            |                            |                               | Proposed Method |                       | Duncan's Method         |                       |                         |
|---|---------------------------|------------|----------------------------|-------------------------------|-----------------|-----------------------|-------------------------|-----------------------|-------------------------|
| p<br>(kPa)                                      | $(\tau_h)_{max}$<br>(kPa) | u<br>(kPa) | $\frac{(\tau_h)_{max}}{p}$ | $\frac{\sigma'_n}{p} = \beta$ | K <sub>o</sub>  | $(\frac{Cu}{p})_{SS}$ | $\phi'_{SS}$<br>(degs.) | $(\frac{Cu}{p})_{SS}$ | $\phi'_{SS}$<br>(degs.) |
| Boston blue clay (Ladd, 1973, 1979)             |                           |            |                            |                               |                 |                       |                         |                       |                         |
| -   | -                         | -          | 0.200                      | 0.575                         | 0.50            | 0.213                 | 25.2                    | 0.320                 | 80.0                    |
| Kaolin clay (Ohara and Matsuda, 1978)           |                           |            |                            |                               |                 |                       |                         |                       |                         |
| 49  | 11.76                     | 10.78      | 0.24                       | 0.78                          |                 | 0.27                  | 23.8                    | 0.35                  | 41.3                    |
| 98  | 24.50                     | 22.54      | 0.25                       | 0.77                          |                 | 0.27                  | 24.1                    | 0.35                  | 41.3                    |
| 147   | 36.26                     | 32.34      | 0.25                       | 0.78                          | 0.51            | 0.27                  | 23.8                    | 0.35                  | 40.8                    |
| 196   | 47.04                     | 41.16      | 0.24                       | 0.79                          |                 | 0.27                  | 23.8                    | 0.34                  | 38.7                    |
| Manglerud quick clay (Bjerrum and Landva, 1966) |                           |            |                            |                               |                 |                       |                         |                       |                         |
| 58.80   | 10.78                     | 22.34      | 0.18                       | 0.62                          |                 | 0.21                  | 23.2                    | 0.30                  | 53.1                    |
| 58.80   | 9.60                      | 18.23      | 0.16                       | 0.69                          |                 | 0.21                  | 22.0                    | 0.29                  | 40.7                    |
| 58.80   | 11.37                     | 21.17      | 0.19                       | 0.64                          |                 | 0.22                  | 23.4                    | 0.31                  | 51.7                    |
| 66.64   | 11.17                     | 20.68      | 0.21                       | 0.69                          |                 | 0.23                  | 23.5                    | 0.32                  | 46.0                    |
| 66.64   | 11.37                     | 29.30      | 0.17                       | 0.56                          | 0.51            | 0.19                  | 23.5                    | 0.30                  | 72.4                    |
| 65.66   | 10.29                     | 32.14      | 0.16                       | 0.51                          |                 | 0.18                  | 23.8                    | 0.29                  | -                       |
| 67.62   | 14.70                     | 28.42      | 0.22                       | 0.58                          |                 | 0.23                  | 26.1                    | 0.33                  | 80.8                    |
| 75.46   | 16.37                     | 29.40      | 0.22                       | 0.61                          |                 | 0.23                  | 25.1                    | 0.33                  | 64.7                    |
| 73.50   | 14.60                     | 29.40      | 0.20                       | 0.60                          |                 | 0.21                  | 24.2                    | 0.32                  | 64.5                    |
| 85.26   | 16.17                     | 36.65      | 0.19                       | 0.57                          |                 | 0.20                  | 24.3                    | 0.31                  | 72.6                    |

約 7% 大きい

$(Cu/p)_{SS}$  値は 平均強度を与えるので付帯して考へられる。

また、 $(Cu/p)_{SS}$  の値は、3種の粘土とし、三軸圧縮試験から得ら

れる  $(Cu/p)_{TC}$  の値よりも小なり ( $(Cu/p)_{TC}$  の値は、Boston

blue clay : 0.33, Kaolin clay : 0.34, Manglerud clay : 0.30)。

これは、非排水強度の異方性のため、 $(Cu/p)_{SS}$  は  $(Cu/p)_{TC}$  よりも小さくなるべきであるといつ Ladd の結論とも一致する。

また、 $\phi'_{SS}$  の計算値は、正規圧密粘土に対して、実際、妥当な値であると考えられる。

### Duncan & a 方法<sup>(2)</sup> について

Duncan & a 方法は、単純せん断試験の応力状態と、絶縁せん断の応力状態によく表わされるとの仮定に基づき、次式を提案している。

$$(Cu)_{SS} = \tau_{max} = \sqrt{\frac{p^2(1-K_0)^2}{4} + (\tau_h)_{max}^2} \quad \dots (14)$$

$$(Cu/p)_{SS} = \sqrt{\frac{(1-K_0)^2}{4} + ((\tau_h)_{max}/p)^2} \quad \dots (15)$$

式(15)による  $(Cu/p)_{SS}$  の計算値は表-1 に示すようだ。本提案法による値に比べてかなり大きな値を与え、彼らも述べているようだ。 $(Cu/p)_{TC}$  の値とはほぼ等しい。しかし、これは上所述べた Ladd の結論と矛盾する。

また、この方法によれば、非排水単純せん断試験におけるモール円は図-2 のようになり、有効応力による内部摩擦角  $\phi'_{SS}$  の大きさは次のようになる。

$$\sin \phi'_{SS} = \left( \frac{\sigma_1 - \sigma_3}{\sigma_1 + \sigma_3 - 2u} \right)_{max} = \frac{\sqrt{(1-K_0)^2 + ((\tau_h)_{max}/p)^2}}{(1+K_0) - 2(1-\beta)} \quad \dots (16)$$

式(16)による  $\phi'_{SS}$  の計算値も表-1 に示す。なお、図-1 は Manglerud clay について、有効応力によるモール円を示したものである。これらからわかるよつた、Duncan & a 方法は、正規圧密粘土に対して、あまりにも大きな  $\phi'_{SS}$  値を与え、この方法が適当でないことが明らかである。

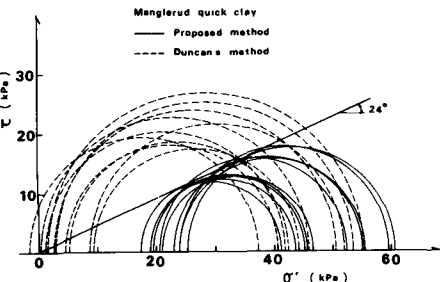


図-1 2つの方法による有効応力

に関するモール応力円

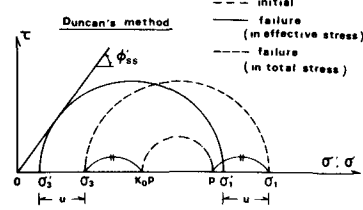
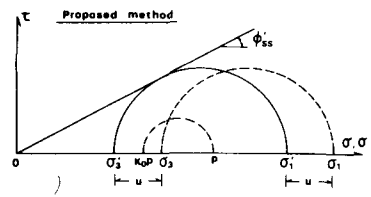
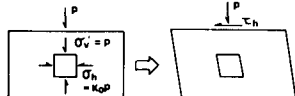


図-2 非排水単純せん断試験  
におけるモール応力円